УСПЕХИ ФИЗИЧЕСКИХ НАУК

из текущей литературы

537.312.62

НОВЫЕ ЭКСПЕРИМЕНТАЛЬНЫЕ ДАННЫЕ ПО ТОНКИМ СВЕРХПРОВОДЯЩИМ ПЛЕНКАМ

В последнее время появился ряд экспериментальных работ, посвященных изучению критической температуры $T_{\rm c}$ тонких сверхпроводящих пленок и ее зависимости от ряда факторов: толщины пленки, оксидирования поверхности и т. д. Повышенный питерес, который вызывают эти эксперименты, связан с тем, что в них были получены $T_{\rm c}$ более высокие, чем в массивном металле.

получены T_c более высокие, чем в массивном металле. Так, в экспериментах группы Стронджина 1 на пленках алюминия при уменьшении толщины пленки до 100 Å удалось повысить T_c — температуру перехода — до $\sim 2^\circ$ K (в массивном образце $T_c \sim 1,2^\circ$ K). Для пленок толщиной около 10^3 Å значение критического поля H_c оказалось $H_c \sim 30~\kappa$ 9 (у массивного образца $H_c \sim 30~s$ 9). Для понимания природы рассматриваемых эффектов существенное значение имеет полученная в этих экспериментах зависимость T_c от толщины пленки (см. рисунок). Наиболее вероятным объяснением этих экспериментов авторы считают появление поверхностной сверхпроводимости 2,3 . Электроны, находящиеся вблизи поверхности, могут испытывать избыточное притяжение, например, за счет поляризации атомов окисла 3,4 (другой возможный механизм — обмен поверхностными рэлеевскими фононами 2). Температура перехода такой пленки с переменными по ее толщине парамет рами определяется следующим выражением *):

$$T_c = 1,14\omega_0 \exp\left(-\frac{1}{NV}\right),$$

$$\overline{NV} \cong N\left(\frac{V_n d_n + V_s d_s}{d}\right),$$
(1)

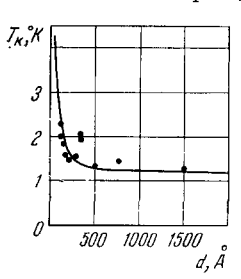
где d — общая толщина пленки, $d_{\mathbf{s}}$ — толщина слоя с избыточным взаимодействием, d_n — толщина остальной части пленки, N — плотность уровней, а V_n и $V_{\mathbf{s}}$ — константы взаимодействия в соответствующих частях пленки.

Беря $d_s=20$ Å и V_s в два раза больше, чем V_n , авторы получают кривую, изображенную на рисунке, которая достаточно хорошо согласуется с их экспериментальными точками. В опытах Рюля 8 исследовались пленки алюминия, индия, свинца и ряда других металлов толщиной около 100 Å. Для всех пленок с естественным оксидным покрытием, за исключением свинцовой пленки, было отмечено более высокое значение T_c , чем в массивном образце, причем для алюминия T_c пленки было в два раза выше, чем в массивном образце, что согласуется с результатами работы 1 . Значение T_c после дополнительного оксидирования для ряда металлов, в том числе и для алюминия, возрастало на 0.3-0.4° K или незначительно уменьшалось; например, для свинца T_c значение уменьшилось на 0.13° K. Это добавочное изменение T_c объясняется в работе влиянием электрического поля, которое образуется из-за диффузии электронов металла на акцепторные уровни окисла.

электронов металла на акцепторные уровни окисла. Еще более резкое увеличение T_c было получено в экспериментах групп Стронджина 9 п Маттиаса 10 на пленках вольфрама и рения толщиной порядка 10 Å. Критическая температура пленок вольфрама достигала 4 K (в массивном образце $T_c \sim 0.01^\circ$ K), у рения 7 K (в массивном образце $T_c \sim 1.7^\circ$ K). Авторы работы 9 предлагают два возможных механизма для объяснения отмеченного факта увеличения T_c , а именно — разупорядочение и поверхностную сверхпроводимость. Хотя эффекты

^{*)} Эта формула была получена из качественных соображений Купером 5 и позднее выведена для «грязных» пленок в работе 6 , а для чистых в 7 .

разупорядочения и приводят к повышению критической температуры 11, каким образом они могут дать такое большое увеличение T_c , не ясно. В толстой пленке трудно ожидать сильного увеличения T_c за счет поверхностной сверхпроводимости ввиду того, что электроны проводят лишь малую долю времени вблизи поверхности, где имеется избыточное притяжение, что и отражено в формуле (1). (Обратным в этом смысле является механизм поверхностной сверхпроводимости на таммовских уровнях 2 , где электроны удерживаются на поверхности самим кристаллом.) Поэтому более вероятным кажется объяснение этого резкого увеличения $T_{\rm c}$, данное в работе 10 . Авторы считают, что этот факт может быть объяснен присутствием в пленках данных металлов другой кристаллографической фазы (β-фазы), которая неустойчива в массивном образце, но, по мнению авторов, может стабилизироваться в пленке даже малым количеством примесей. Авторы полагают, что в β-фазе



Точками изображены эксперименданные; тальные сплошная линия построена по формуле (1).

существуют условия, более подходящие для возникновения сверхпроводимости. Их объяснение подкрепляется тем фактом, что при рентгенографическом исследовании в пленках, где T_{c} было выше, чем в массивном образце, было отмечено наличие этой фазы и, наоборот, в пленках металлов (например, Мо и Та), где критическая температура была ниже, чем в массивном образце, присутствие этой фазы не наблюдалось.

Эксперименты другого типа были проведены группой Маттиаса 12. Исследовались слоистые соединения графита с щелочными металлами: калием (K), рубидием (Rb) и цезием (Cs). В то время как ни одна из компонент этих соединений в отдельности не обнаруживает сверхпроводимости, подобная слоистая структура оказалась сверхпроводником с $T_c=0.135^\circ$ K (Cs), 0,151° K (Rb), 0,55° K (K). Авторы считают, что ими обнаружено проявление двумерной сверхпроводимости в металлическом слое. Если это объяснение окажется правильным, то обсуждаемые эксперименты дают пример двумерного сверхпроводника, возможность существования которого обсуждалась

ранее в работе ², правда, для существенно иной модели. Приведенная выше теоретическая интерпретация рассматриваемых опытов носит, конечно, сугубо предварительный характер. Однако, каково бы ни было правильное объяснение обнаруженных в этих опытах высоких значений критической температуры и критического поля в тонких пленках, возможные практические последствия полученных результатов таковы, что было бы желательно уже сейчас расширить круг изучаемых веществ. В частности, представляло бы большой интерес изучение пленок со специально нанесенными на них диэлектрическими покрытиями, как это было предложено в работе ³.

Е. Г. Максимов

ЦИТИРОВАННАЯ ЛИТЕРАТУРА

- 1. M. Strongin et al., Phys. Rev. Letts. 14, 362, 949 (1965).

- 1. М. Strongin et al., Phys. Rev. Letts. 14, 362, 949 (1965).
 2. В. Л. Гинзбург, Д. А. Киржниц, ЖЭТФ 46, 397 (1964).
 3. В. Л. Гинзбург, ЖЭТФ 47, 2318 (1965).
 4. У. Литтл, УФН 86 (2), 315 (1965); Л. В. Келдыш, УФН 86(4), 327 (1965).
 5. L. Соорег. Phys. Rev. Letts. 6, 689 (1961).
 6. Р. de Gennes, Rev. Mod. Phys. 36, 225 (1964).
 7. Д. А. Киржниц, Е. Г. Максимов, Письма ЖЭТФ 2, 442 (1965).
 8. W. Rühl, Zs. Phys. 186, 190 (1965).
 9. М. Strongin et al., Phys. Letts. 17, 224 (1965).

- 10. B. T. Matthias et al., Phys. Rev. Letts. 15, 260 (1965).
- 11. R. Hilsch, Non-Cristalline Solids, New York, 1958.
- 12. B. T. Matthias et al., Phys. Rev. Letts. 14, 225 (1965).